

# مقایسه و تحلیل نتایج حاصل از درزه نگاری در معادن مس سرچشمه و سونگون، ایران

محمود پارسايی<sup>i</sup>، کوروش شهريار<sup>ii</sup>، مصطفى شريفزاده<sup>iii</sup> و پرويز معارف وند<sup>iv</sup>

## چکیده

در این مقاله، روش‌های برداشت درزه‌ها به صورت عمومی و درزه‌نگاری در معادن مس سرچشمه و سونگون به روش متداول خط برداشت، با هدف طبقه‌بندی مهندسی توپوگرافی منطقه و مطالعه خواص هیدرولیکی درزه‌ها نسبت به آب زیرزمینی، به همراه نتایج حاصل از پردازش آماری این برداشت‌ها و مقایسه نتایج آنها در دو معدن، ارایه می‌شود. در محدوده دیواره غربی معدن مس سرچشمه، دو گروه درزه اصلی با امتدادهای شمال غربی - جنوب شرقی (Set1: Dip/Dip dir. :  $46^{\circ}/082^{\circ}$ ) و شمال شرقی - جنوب غربی (Set2: Dip/Dip dir. :  $80^{\circ}/051^{\circ}$ )، با بازشدنگی متوسط  $3/5\text{mm}$  و مواد پرکننده از جنس رس و پیریت و در معدن مس سونگون، دو گروه درزه اصلی با امتدادهای شمال شرقی - جنوب غربی (Set1: Dip/Dip dir. :  $63^{\circ}/165^{\circ}$ ) و شمال غربی - جنوب شرقی (Set2: Dip/Dip dir. :  $70^{\circ}/227^{\circ}$ )، با بازشدنگی  $6\text{mm}$  و مواد پرکننده از جنس رس و اکسید آهن وجود دارند. در هر دو معدن، درزه‌ها با سطوح زبرو تقريباً هوازده، مرطوب، با طول (تمارم)  $10-20\text{m}$  و فاصله‌داری متوسط  $1\text{m}$ ، تشخیص داده شد. به اين ترتیب، با مقایسه و تحلیل نتایج در این دو معدن، مشاهده می‌شود که با وجود فاصله جغرافیایی نسبتاً زياد و به خصوص شرایط ظاهری بسیار متفاوت دیواره‌های این دو معدن، پارامترهای ژئومکانیکی درزه‌های تووده سنگ آنها بسیار مشابه بوده و حتی در بیشتر موارد، در صد فراوانی آنها در مطالعه آماری انجام شده، به هم نزدیک و بنابراین، نتایج حاصل بسیار قابل توجه و مفید است.

## كلمات کلیدی

درزه‌نگاری، سرچشمه، سونگون، معدن مس پورفیری، ایران، ناپیوستگی

## Comparison and Analysis of the Joint Mapping Results in the Sarcheshme and Sungun Porphyry Copper Mines, Iran

M. Parsaei, K. Shahriar, M. Sharifzade and P. Moarefvand

### ABSTRACT

In this paper, joints mapping methods in general and joint mapping in Sarcheshme and Sungun porphyry copper mines by the Scanline common method, with the aim of field rock mass engineering classification, and the study of the joints hydraulic properties with the respect to groundwater, accompanied by the result of these data statistical processing, and comparison of the results in two mines, are presented. In the western wall of the Sarcheshme copper mine limit, there are two main joint sets with

<sup>i</sup> دانشجوی دکتری، گروه مهندسی معدن، دانشگاه آزاد اسلامی واحد علوم و تحقیقات، آدرس مکاتبه کننده: تهران - صندوق پستی

E-Mail: sharifzadeh@aut.ac.ir / mahmoodparsaei@yahoo.com : ۱۷۸۴۵۰۱۴۷

<sup>ii</sup> عضو هیأت علمی، دانشکده مهندسی معدن، متالورژی و نفت، دانشگاه صنعتی امیرکبیر

<sup>iii</sup> عضو هیأت علمی، دانشکده مهندسی معدن، متالورژی و نفت، دانشگاه صنعتی امیرکبیر

<sup>iv</sup> عضو هیأت علمی، گروه مهندسی معدن، دانشگاه زنجان

Northwest-Southeast (Set1: Dip/Dip dir.:  $46^{\circ}/082^{\circ}$ ) and Northeast-Southwest (Set2: Dip/Dip dir.:  $80^{\circ}/051^{\circ}$ ) strikes with 3.5mm aperture and infilling materials of clay and pyrite, and in the Sungun copper mine, two main joint sets with Northeast-Southwest (Set1: Dip/Dip dir.:  $63^{\circ}/165^{\circ}$ ) and Northwest-Southeast (Set2: Dip/Dip dir.:  $70^{\circ}/227^{\circ}$ ) strikes with 6mm aperture and infilling materials of clay and iron oxide. In both of mines, joints were recognized with rough and slightly weathered surfaces, damp, with 10-20m persistence and 1m mean spacing. So with comparison and analysis of the results in these two mines, it is observed that in spite of the geographical slightly large distance and especially very different apparent condition of these two mines walls, the joints geomechanic parameters of their rock masses, are very similar and even, in many cases, the frequency percent of them in done statistical study are very near and so the obtained results are very noticeable and useful.

### Keywords

Joint mapping, Sarcheshme, Sungun, Porphyry copper mines, Iran, Discontinuity

لایه‌بندی، کلیواژ یا رخ، شیستوزیت، درزه و گسل هستند [۱۲]

اگرچه این عوارض در زمین شناسی نام‌های مختلفی دارند، اما در بررسی‌های ژئوتکنیکی همه آنها ناپیوستگی محسوب می‌شوند.

اصطلاح درزه بیانگر یک ترک یا شکستگی ویا به طور کلی یک ناپیوستگی در سنگ است که در این نوع شکستگی، حرکت نسبی قابل توجهی به موازات صفحه شکستگی وجود ندارد [۱۲].

## ۲- مشخصات جغرافیایی و زمین‌شناسی معادن مس پورفیری سرچشم و سونگون

معدن مس سرچشم در استان کرمان و در ۶۰ کیلومتری جنوب غربی شهر رفسنجان واقع است و موقعیت جغرافیایی آن،  $۵۵^{\circ}$  و  $۵۲^{\circ}$  طول شرقی و  $۲۹^{\circ}$  و  $۵۸^{\circ}$  عرض شمالی است. ارتفاع متوسط این منطقه از سطح دریا  $۲۵۰۰$  متر است [۱].

زمین‌شناسی معدن مس سرچشم طی سال‌های  $۱۹۷۵-۱۹۸۷$  به وسیله افراد مختلفی مطالعه شده است [۴]. کانی‌زایی در کانسار مس سرچشم به یک استوک گرانودیوریتی مربوط است که در داخل سنگ‌های آذرین و رسوبی (أُوسن) نفوذ کرده است. این سنگ‌ها جهت شمال غربی - جنوب شرقی دارند و در محدوده معدن، حدود  $۹۰$  درصد آنها آندزیت با بافت پروفیری است. در بخش‌های عمقی، آندزیت را براساس نوع دگرسانی می‌توان به آندزیت بیوتیک، فیلیک و پروپیلیتیک تقسیم‌بندی کرد که در این میان، دگرسانی فیلیک نوع غالب است [۴]. براساس مطالعات انجام شده، غیر دگرسانی ترین نفوذهای پورفیری سرچشم، سنی برابر با  $۱۲/۲۰\pm ۱/۲$  میلیون سال نشان داده است و همچنین برای نمونه‌هایی از فنورکریستال های بیوتیت، که ظاهراً آذرین به نظر می‌رسد، سنی برابر  $۱۲/۵\pm ۰/۵$  میلیون سال به دست آمده است [۴].

### ۱- مقدمه

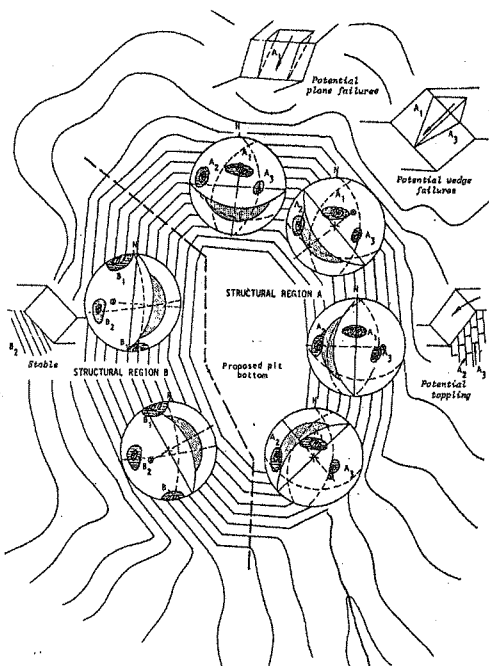
در مراحل اولیه یک پروژه مهندسی معمولاً هیچ‌گونه دسترسی مستقیم به زیرزمین وجود ندارد. در این حالت استفاده از سطوح رخمنون<sup>۱</sup> به عنوان منبع اصلی اطلاعات در مورد خواص مهندسی و تکتونیک توده سنگ، مناسب است. اندازه‌گیری‌ها، ممکن است روی سطوح رخمنون طبیعی موجود، یا حاصل از استخراج سطحی و زیرزمینی انجام شود. باید توجه داشت که سطح رخمنون ممکن است در اثر هوازدگی تغییر کرده باشد؛ در نتیجه ممکن است کیفیت توده سنگ در سطح کاملاً منطبق با کیفیت توده سنگ در عمق نباشد. در مراحل اولیه طرح، برای به دست آوردن اطلاعات ژئومکانیکی موردنیاز در مطالعه امکان‌سنگی و در حین پیشرفت یک پروژه، کلیه رخمنون‌های توده‌سنگ منطقه باید برداشت شوند به طوری که اطلاعات اساسی برای طراحی به دست آید [۱۲].

برداشت‌های ژئومکانیکی به منظورهای مختلف انجام می‌شود و ممکن است شامل یک یا مجموعه‌ای از اهداف زیر باشد [۱۲] : (الف) ارزیابی ساختمان زمین‌شناسی؛ (ب) طبقه بندی توده سنگ؛ (ج) ایجاد داده‌های ورودی برای تحلیل‌های خاص، مدل‌های عددی و تجربی<sup>۲</sup> برای پایداری توده سنگ، تغییر شکل سنگ، جریان سیال، آتشباری، برش سنگ، یا طراحی نگهداری در معدن. در پردازش داده‌های حاصل از برداشت ژئومکانیکی سطوح رخمنون، فنون آماری اطلاعات بالارزشی ارایه می‌دهد و از قضاوت شخصی که اطلاعات را جمع‌آوری کرده است، برای تعبیر و تفسیر نتایج استفاده می‌شود.

تمام سنگ‌ها، کمابیش عوارض یا ناپیوستگی‌های واضح مکانیکی دارند که ارتباط مستقیمی با خواص ذاتی و اولیه آنها ندارند. این عوارض به طور عمده شامل چین‌خوردگی<sup>۳</sup>، تورق<sup>۴</sup>،

از مونیتورینگ در طول دیواره‌های گمانه‌های موازی، در یک شبکه منظم استفاده کرد.

اگر منطقه مورد مطالعه درزه‌های خیلی زیاد داشته باشد (حدود میلیون)، ابتدا محدوده مورد نظر به مناطق کوچک تر تقسیم شده [۷] و آنگاه تمام درزه‌های هریک از این مناطق فرعی برداشت می‌شود و با پیاده کردن آنها برروی استریوونت و تهیه نمودار خطوط ترانز وضعيت آنها مطالعه می‌شود (شکل ۱).



شکل(۱): مثالی از نمایش سیستم درزه‌های مربوط به مناطق اطراف یک معدن روباز [۷]

#### ۴- مراحل درزه نگاری (برداشت ژئومکانیکی) در دیواره غربی معدن مس سرچشمه و دیواره‌های مختلف معدن مس سونگون

دیواره غربی معدن مس سرچشمه به دلیل حضور آب زیرزمینی و چریان و فشار آب ایجاد شده در محدوده این دیواره ف که مشکلات فنی و عملیاتی زیادی را ایجاد می‌کند، و همچنین ناپایداری دیواره پله‌های آن، برای انجام مطالعات ژئومکانیکی و آب زمین شناسی<sup>۱۰</sup> (هیدروژئولوژی) که لازمه انجام آنها، درزه نگاری توده سنگ این محدوده است، از اهمیت زیادی برخوردار است.

برای شروع برداشت درزه‌ها در هر معدن، پس از مشخص کردن محل ایستگاه‌ها به کمک متر و اسپری رنگ، مختصات ایستگاه‌های برداشت شامل (z, y, x) با استفاده از دوربین

کانسار مس سونگون در استان آذربایجان شرقی و در ۳۲ کیلومتری شمال شهر ورزقان واقع شده و موقعیت جغرافیایی آن،  $42^{\circ}$  و  $46^{\circ}$  طول شرقی و  $38^{\circ}$  عرض شمالی است. ارتفاع متوسط این منطقه از سطح دریا ۲۰۰۰ متر است [۶]. مرز جنوبی و شرقی این کانسار، منطبق بر روی خانه سونگون و مرز شمالی آن در محل برخورد با رویخانه پخیر و حد غربی آن ارتفاعات مشرف به کانسار است [۵].

کانسار مس سونگون نیز از نوع پورفیری است که توسط دایک‌ها دربر گرفته شده است. محدوده معدن شامل توده پورفیری سونگون<sup>۷</sup> (SP) از جنس موئزونیت تا کوارتز موئزونیت، دایک A از جنس موئزونیت، دایک B از جنس دیوریت و اسکارن است. همچنین در محدوده این کانسار انواع دگرسانی شامل فیلیک، پورپلیتیک، آرژیلیت و پتاسیک وجود دارد [۶].

#### ۳- مقایسه و بررسی روش‌های درزه نگاری و انتخاب روش به کار رفته در معادن مس پورفیری سرچشمه و سونگون

به دلیل سهولت، قابلیت کاربرد، دسترسی و همچنین دقیق مناسب، در هر دو معدن روش مشابه خط برداشت<sup>۸</sup> به منظور درزه نگاری به کار گرفته شده است.

در برداشت درزه‌ها، دو روش خط برداشت و پنجره‌ای<sup>۹</sup> بیشتر متداول هستند و در این بین، اساسی‌ترین روش در برداشت سطوح رخمنون برروی زمین یا زیرزمین، روش خط برداشت است. بهتر است طول خط برداشت حدود ۱۰-۲۰ متر باشد [۱۴].

روش پنجره‌ای، اساساً مشابه روش خط برداشت است، با این تفاوت که در روش پنجره‌ای تمام ناپیوستگی‌هایی که بخشی از طول خط اثر<sup>۱۰</sup> آنها در داخل سطح معینی از دیواره سنگی<sup>۱۱</sup> قرار دارند، اندازه‌گیری می‌شوند؛ در حالی که در روش خط برداشت تنها ناپیوستگی‌هایی که خط برداشت را قطع می‌کنند، مورد نظر هستند [۸].

روش دیگر برداشت درزه‌ها، روش گمانه‌های غیر موازی است که در آن تراکم و مشخصات ناپیوستگی‌ها به کمک روش حداقل مربعات<sup>۱۲</sup> از گمانه‌های غیر موازی به دست می‌آید [۹]. همچنین در روش اکتشافات ژئوفیزیکی، از خواص مربوط به سرعت امواج طولی برای تعیین هندسه ترک (ناپیوستگی‌ها) با تائسوری موسوم به تائسور ترک<sup>۱۳</sup> استفاده می‌شود [۱۱]. علاوه بر این روش‌ها می‌توان از سرهم گذاری اطلاعات حاصل

متداد خطوط برداشت بین ایستگاه‌های  $P_1-P_{52}$  انجام شده است [۳] و نتایج در جدول‌های برداشت مانند جدول نمونه (۲) بنت شدند.

نقشه برداری تعیین می شود (جدول نمونه ۱).

جدول (۱) : نمونه مختصات ایستگاه های خط برداشت (در محدوده دیواره غربی معدن مس سرچشمه، دیواره پلے ۲۵۲۵m)

ملاک اندازه‌گیری و محدوده تغییرات پارامترهای ثبت شده در جدولهای برداشت، علاوه بر مشخصات هندسی موردنیاز روزهای، محدوده‌های پارامترهای مورد نیاز برای طبقه‌بندی هندسی توده‌سنگ و به خصوص رده بندی ژئومکانیکی<sup>۱۰</sup> امتنیاز توده سنگ) است. البته در پروژه‌های مکانیک سنگی مختلف، بسته به نوع پروژه، پارامترهای موردنیاز و همچنین محدوده تغییرات و معیار اندازه‌گیری و نسبت آنها تغییراتی فواید داشت. در اینجا پارامترها با اهداف طبقه‌بندی مهندسی و داده سنگ و تخمین ضریب نفوذپذیری آن انتخاب، طبقه‌بندی و برداشت شده‌اند.

مشخصات صفحات درزه ها شامل شیب و جهت شیب با استفاده از نرم افزار DIPS پردازش شده و دو دسته درزه محلی منطقه تعیین شده اند. مطالعه مشخصات ژئومکانیکی دیگر نتیجه گیری از این مشخصات شامل فاصله داری<sup>۱۱</sup>، از شدگی<sup>۱۷</sup>، تداوم (طول)<sup>۱۸</sup>، زبری<sup>۱۹</sup>، جنس مواد پرکننده، مواد پرگشته<sup>۲۰</sup> و شرایط آب زیرزمینی (تراوش)<sup>۲۱</sup> درزه ها، به روش ماری انجام شده و به وسیله نمودارهای فراوانی -

| مختصات ایستگاه ها |         |        |          | [۲]                   |
|-------------------|---------|--------|----------|-----------------------|
| Z(m)              | Y(m)    | عرض    | طول X(m) | شماره ایستگاه ...P... |
| ۲۵۲۲/۲۵           | ۱۸۹۵/۲۷ | ۴۸۸/۹۷ |          | ۱                     |
| ۲۵۲۲/۱۵           | ۱۸۹۲/۲۲ | ۴۸۶/۹۵ |          | ۲                     |
| ۲۵۲۱/۴۵           | ۱۸۸۵/۸۳ | ۴۸۹/۷۸ |          | ۳                     |
| ۲۵۲۱/۷۵           | ۱۸۸۲/۹۱ | ۴۸۴/۴۷ |          | ۴                     |
| ۲۵۲۱/۸۵           | ۱۸۷۶/۲۱ | ۴۸۷/۵۸ |          | ۵                     |
| ۲۵۲۹/۹۵           | ۱۸۷۱/۴۷ | ۴۸۸/۵۰ |          | ۶                     |
| ۲۵۲۱/۵۵           | ۱۸۶۷/۳۱ | ۴۸۵/۴۲ |          | ۷                     |
| ۲۵۲۰/۸۵           | ۱۸۶۲/۴۵ | ۴۸۲/۳۷ |          | ۸                     |
| ۲۵۲۱/۱۵           | ۱۸۵۷/۸۸ | ۴۸۲/۷۳ |          | ۹                     |

برای برداشت درزهای در توده سنگ دیواره غربی معدن مس سرچشمه و دیوارهای مختلف معدن مس سونگون، به روش خط برداشت عمل شده است. برداشت‌ها در معدن مس سرچشمه، در امتداد دو خط برداشت مختلف به ترتیب  $P_{100}$ - $P_{101}$  بر روی دیواره پله  $A_{92}$ - $A_{91}$  و  $2525m$ - $2512m$  در خلاف جهت یکدیگر به صورت رفت و برگشت [۲]، در معدن مس سونگون بر روی دیواره پله های مختلف و در

جدول (۲) : نمونه برداشت های درزه نگاری (در محدوده دیواره غربی معدن مس سرچشمه) [۲]

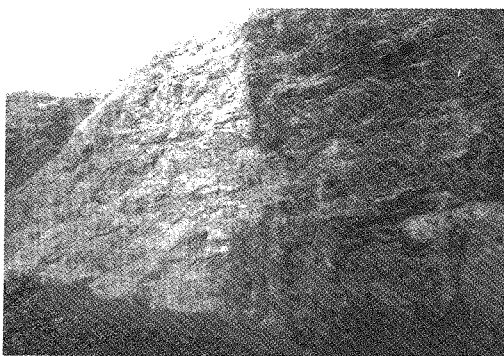
سازمان اسناد و کتابخانه ملی

پو داشت شماره: ۵۳

| پلاکه... ۵۰۷۰M                     |            |               |                     |          |              |                | ایستگاه... P <sub>۵۰</sub> -P <sub>۵۱</sub> |             |               |          |                |
|------------------------------------|------------|---------------|---------------------|----------|--------------|----------------|---|-------------|---------------|----------|----------------|
| موقوعیت برزه                       | تراوش      | هوایزدگی      | مواد پرکننده        | بازشدنی  | زبری         | تدابعه برزه    | فاسیلیتی داری                               | اعتداد برزه | جهت شیب برزه  | شیب برزه | گروهه برزه     |
| Location                           | Seepage    | Weathering    | Infilling materials | Aperture | Roughness    | Persistence    | Spacings                                    | Strike      | Dip direction | Dip      | Joint set      |
| P <sub>۵۰</sub> -S <sub>۱</sub> /M | خشک        | کثیر راکت آهن | تریپلی مارلز        | +0-5-RCM | صفاف         | زیاد           | ~1m   | ۲۱۶         | ۳۰°           | ۲۰       | S <sub>۱</sub> |
| P <sub>۵۰</sub> -S <sub>۱</sub> /M | کم مطروب   | کم راکت آهن   | تریپلی مارلز        | 2-5MM    | کم           | زیاد تهمان پله | 70-70cm                                     | ۴۰          | ۱۲۰           | ۸۰       | S <sub>۱</sub> |
| P <sub>۵۰</sub> -S <sub>۱</sub> /M | مطروب      | میانز         | رس و اکسید آهن      | +2mm     | تسینتیاز پیر | زیاد           | ~7m   | ۱۷۰         | ۸۰            | ۸۰       | S <sub>۱</sub> |
| P <sub>۵۰</sub> -S <sub>۱</sub> /M | مطروب      | میانز         | رس و اکسید آهن      | 2-5MM    | تسینتیاز پیر | زیاد           | ~7m   | ۳۰          | ۱۲۰           | ۸۰       | S <sub>۱</sub> |
| P <sub>۵۰</sub> -S <sub>۱</sub> /M | در ایستگاه | خشک           | تریپلی مارلز        | +2mm     | پیر          | زیاد           | 2m  | ۱۵۲         | ۶۲            | ۷۰       | S <sub>۱</sub> |
| P <sub>۵۰</sub> -S <sub>۱</sub> /M | کم مطروب   | کم راکت آهن   | رس و اکسید آهن      | +0-5-1CM | زبر          | زیاد تهمان پله | 1m  | ۴۰          | ۱۲۰           | ۸۰       | S <sub>۱</sub> |
| P <sub>۵۰</sub> -S <sub>۱</sub> /M | کم مطروب   | کم راکت آهن   | رس و اکسید آهن      | 2-5MM    | صفاف         | زیاد           | 70-100cm                                    | ۱۲۶         | ۲۲۶           | ۸۰       | S <sub>۱</sub> |

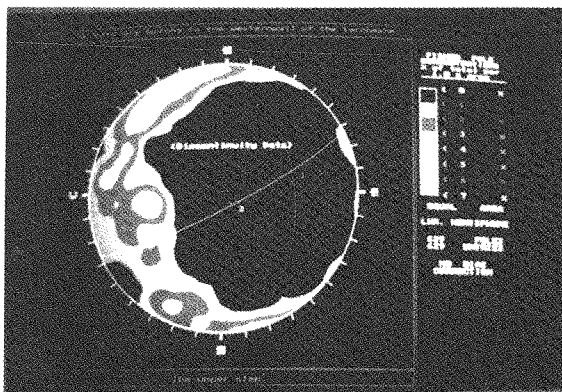
ستفاده از پارامترهای هندسی درزهای، بکاربرده می‌شوند. با توجه به نقشه زمین‌شناسی سطحی در محدوده دیواره تربی معدن مس سرچشمه [۲]، مشاهده می‌شود که سنگ دیواره در محدوده برداشت، به طور عدمه شام، آندزیت

مربوطه ارایه می شود . در هر مورد، مقدار مربوط به حداکثر فراوانی پارامترها به دست آمده است که این مقادیر در محاسبات مختلف مربوط به کارهای معدنی و مکانیک سنگی، از جمله محاسبات مربوط به ضریب تفونزیدیری توده سنگ با



شکل(۳) : سیستم درزهای اصلی توده سنگ معدن مس سونگون [۳]

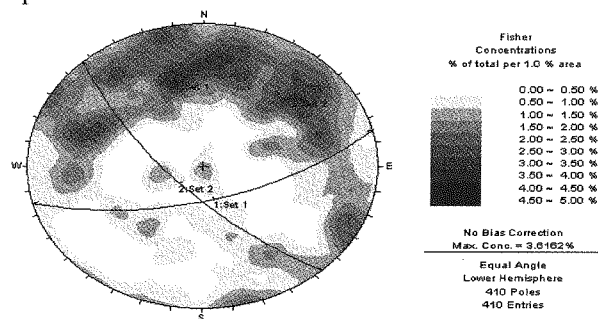
براساس مشخصات مجموعه درزهای اصلی برداشت شده در دو معدن و پس از پردازش دادههای حاصل به کمک نرم افزار DIPS، برای هر کدام از آنها دو دسته درزه اصلی مطابق شکل های (۴) و (۵)، به عنوان روند عمومی سیستم درزه های منطقه تشخیص داده می شود که با شکل های (۲) و (۳) نیز مطابقت دارند.



شکل(۴) : روند عمومی مجموعه کل درزهای در محدوده دیواره غربی م

معدن مس سرچشم [۲] :

- (Set1) Dip/Dip dir. :  $46^\circ/082^\circ$
- (Set2) Dip/Dip dir. :  $80^\circ/051^\circ$



شکل(۵) : روند عمومی مجموعه کل درزهای در معدن مس سونگون [۳]

- (Set1) Dip/Dip dir. :  $63^\circ/165^\circ$
- (Set2) Dip/Dip dir. :  $70^\circ/227^\circ$

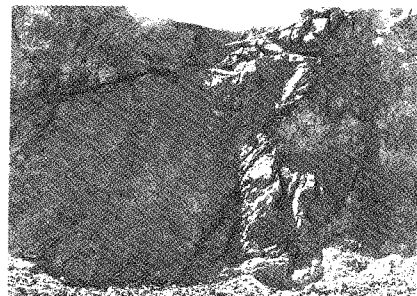
پورفیری می باشد و خطوط برداشت مذکور در فوق، دو دایک را در این محدوده قطع کرده اند . همچنین خطوط برداشت در معدن مس سونگون، سنگهای با جنس SP، و دایک های متعدد نوع A و B را قطع می کنند [۳].

#### ۴- جمع بندی ، تحلیل و مقایسه نتایج حاصل از درزه نگاری در دو معدن

با انجام مطالعات آماری در مورد هریک از پارامترهای برداشت شده در هریک از این دو معدن، روند عمومی و مشخصات صفحات اصلی درزهای و حداکثر فراوانی مربوط به هر محدوده از پارامترهای برداشت شده ، به دست می آید. نمودارها و نتایج مربوط به مطالعات آماری درزهای مربوط به برداشت شده در مورد توده سنگ دیواره غربی معدن مس سرچشم [۲] و بخش های مختلف معدن مس سونگون [۳]، در ادامه ارایه می شود .

#### ۴-۱- دسته درزه های اصلی توده سنگ منطقه

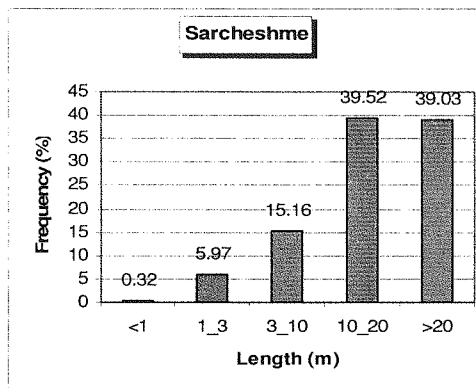
شکل های (۲) و (۳) نمایی از سیستم درزه های اصلی معدن مس سرچشم و سونگون را نشان می دهند.



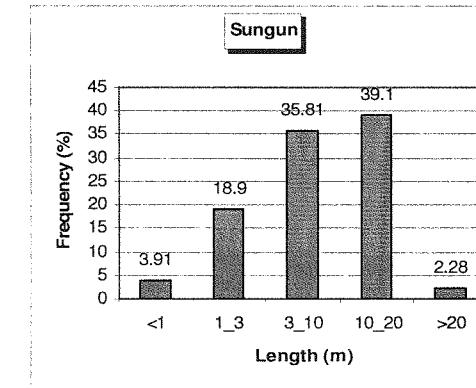
شکل(۲) : سیستم درزه های اصلی در توده سنگ دیواره غربی معدن مس سرچشم [۲]

#### ۴-۲- توزیع فاصله داری سیستم درزه ها

پس از پردازش آماری داده های مربوط به فاصله داری درزه ها در هر گروه از آنها در توده سنگ هر معن، مقدار متوسط  $1m$ ،  $1.6-2m$ ، بنابر دو شکل (۶) و (۷) به دست آمد.

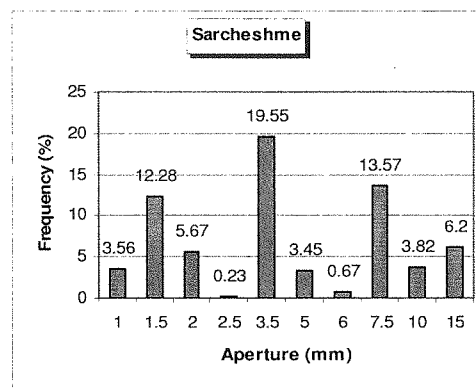


شکل(۸) : نمودار فراوانی مربوط به تداوم یا طول درزه ها در مورد مجموعه کل درزه های محدوده دیواره غربی معن مس سرچشمی با حداکثر فراوانی برای  $10-20m$  [۲]

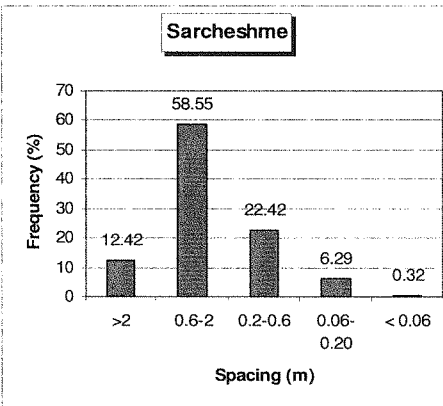


شکل(۹) : نمودار فراوانی مربوط به تداوم یا طول درزه ها در مورد مجموعه کل درزه های معن مس سونگون، با حداکثر فراوانی برای  $10-20m$  [۳]

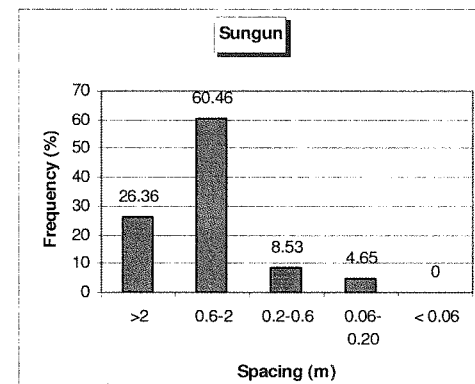
#### ۴-۳- توزیع بازشدگی درزه ها در توده سنگ منطقه



شکل(۱۰) : نمودار فراوانی مربوط به جدایش (بازشدگی) مجموعه کل درزه های محدوده دیواره غربی معن مس سرچشمی، با حداکثر فراوانی مربوط به  $3/5mm$  یا  $3/5Cm$  [۲]



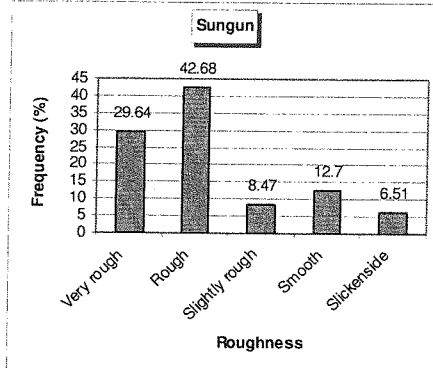
شکل(۶) : نمودار فراوانی مربوط به فاصله داری مجموعه کل درزه های محدوده دیواره غربی معن مس سرچشمی (حداکثر فراوانی مربوط به  $1.6-2m$  است.)



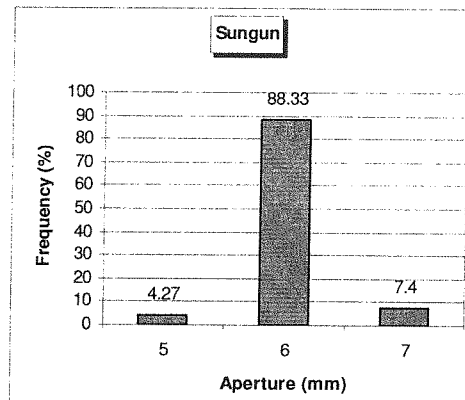
شکل(۷) : نمودار فراوانی مربوط به فاصله داری مجموعه کل درزه های معن مس سونگون (حداکثر فراوانی مربوط به  $1.6-2m$  است.)

#### ۴-۴- توزیع فراوانی طول یا تداوم درزه ها

بیشترین فراوانی مربوط به طول یا تداوم اندازه گیری شده درزه ها در هر دو معن، مطابق شکل های (۸) و (۹) به تداوم  $10-20m$  مربوط است.

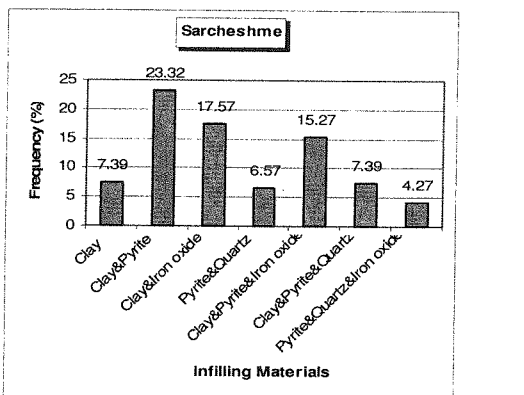


شکل(۱۳) : نمودار فراوانی مربوط به زبری سطح مجموعه کل درزهای معدن مس سونگون (حداکثر فراوانی به سطوح زبر مربوط است). [۳]

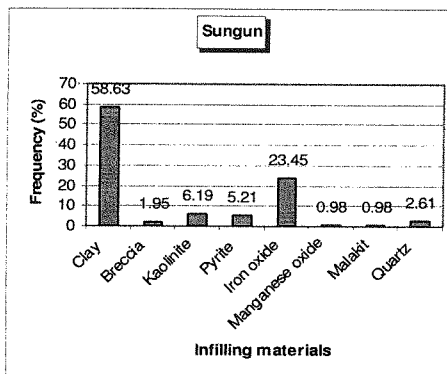


شکل(۱۱) : نمودار فراوانی مربوط به جدایش (بازشدگی) مجموعه کل درزهای معدن مس سونگون، با حداکثر فراوانی مربوط به ۶mm

مقدار مربوط به بیشترین درصد فراوانی بازشدگی درزهای براساس دو نمودار آماری (۱۰) و (۱۱)، بنابر تفاوت شرایط زمین شناسی و تشکیلاتی حاکم در دو منطقه، برای معدن مس سرچشمہ ۳/۵mm و برای معدن مس سونگون ۶mm است.



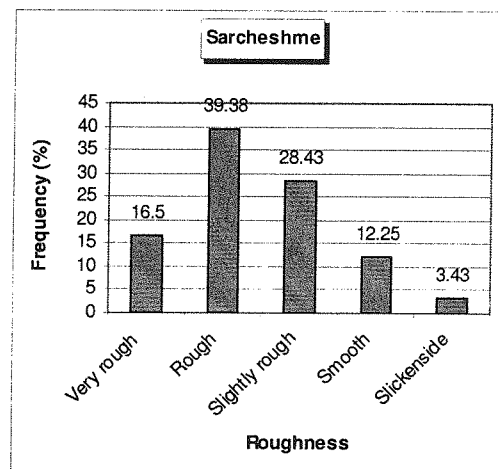
شکل(۱۴) : نمودار فراوانی مربوط به جنس مواد پرکننده مجموعه کل درزهای محدوده دیواره غربی معدن مس سرچشمہ، با حداکثر فراوانی مربوط به رس و پیریت [۲]



شکل(۱۵) : نمودار فراوانی مربوط به مواد پرکننده مجموعه کل درزهای معدن مس سونگون، با حداکثر فراوانی مربوط به مواد پرکننده با جنس رس و سپس اکسید آهن [۳]

مواد پرکننده درزهای با بیشترین فراوانی، مطابق نمودارهای (۱۴) و (۱۵)، در محدوده دیواره غربی معدن مس

۴-۵- نحوه توزیع شرایط زبری سطح درزهای  
با توجه به نمودارهای آماری (۱۲) و (۱۳)، شرایط زبری سطح درزهای توده سنگ در مقیاس زبری بزرگ<sup>۱</sup>، برای هر دو معدن، سطوح زبر<sup>۲</sup> به دست آمد .

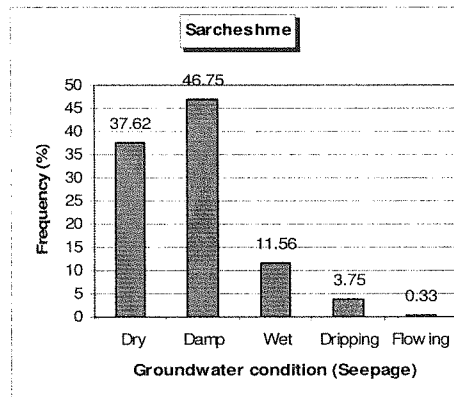


شکل(۱۲) : نمودار فراوانی مربوط به زبری سطح مجموعه کل درزهای محدوده دیواره غربی معدن مس سرچشمہ (حداکثر فراوانی متعلق به سطوح زبر است). [۲]

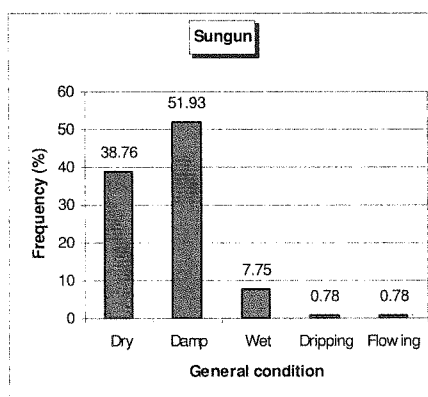
سرچشمه، رس و پیریت و در توده سنگ کانسار مس سونگون، رس و اکسید آهن تشخیص داده شد.

#### ۴-۷- توزیع شرایط هوازدگی سیستم درزه ها

شرایط هوازدگی سطوح درزه ها (درزه های غیر سیمانه) با بیشترین فراوانی، طبق دو نمودار (۱۶) و (۱۷) برای هر دو معدن، سطوح تقریباً یا نسبتاً هوازده است.



شکل (۱۸): نمودار فراوانی مربوط به تراوش یا شرایط آب زیرزمینی مربوط به مجموعه کل درزه های محدوده دیواره غربی معدن مس سرچشمه، با حداکثر فراوانی مربوط به مرطوب [۲]

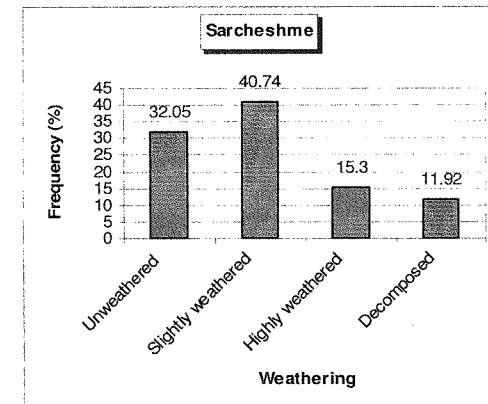


شکل (۱۹): نمودار فراوانی مربوط به تراوش یا شرایط آب زیرزمینی مربوط به مجموعه کل درزه های معدن مس سونگون، با حداکثر فراوانی مربوط به مرطوب [۳]

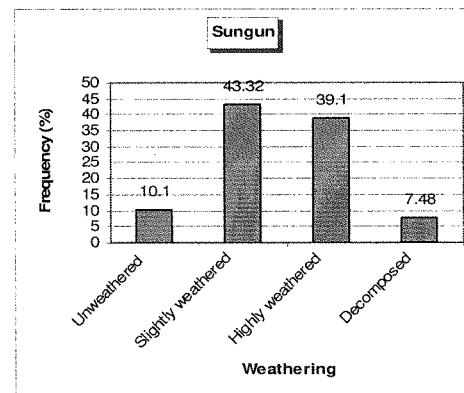
#### ۴-۹- مقایسه نتایج حاصل درزه نگاری در دو معدن

براساس مطالعه و نمودارهای فوق، خلاصه نتایج درزه نگاری و پردازش داده های مربوط به مجموعه کل درزه ها به روش آماری، در دو معدن مس سرچشمه و سونگون در جدول (۳) ارایه می شود.

مشاهده می شود که به غیر از متفاوت بودن مقدار جدایش یا بازشدگی و بخشی از جنس مواد پرکننده درزه ها در دو معدن، علاوه بر اینکه سایر پارامترهای ژئومکانیکی درزه ها در هر دو معدن یکی است، حتی درصد فراوانی اکثر پارامترهای یکسان، به هم نزدیک است.



شکل (۱۶): نمودار فراوانی مربوط به هوازدگی سطوح مجموعه کل درزه های محدوده دیواره غربی معدن مس سرچشمه، با حداکثر فراوانی مربوط به تقریباً هوازده [۲]



شکل (۱۷): نمودار فراوانی مربوط به هوازدگی سطوح مجموعه کل درزه های معدن مس سونگون، با حداکثر فراوانی مربوط به تقریباً هوازده [۳]

#### ۴-۸- توزیع فراوانی مربوط به شرایط آب زیرزمینی یا تراوش سیستم درزه ها

شرایط عمومی آب زیرزمینی یا تراوش درزه های هر دو معدن، بر اساس پردازش آماری ارایه شده در شکل های (۱۸) و (۱۹)، به صورت مرطوب با بیشترین فراوانی نسبت به شرایط دیگر، نشان داده می شود.

جدول (۳) : مقایسه نتایج مربوط به مطالعه و برداشت پارامترهای درزه داری در محدوده دیواره غربی معدن مس سرچشمه، و بخش های مختلف معدن مس سونگون با حداکثر فراوانی مربوط به پارامترهای برداشت شده [۲] ، [۳]

| پارامتر درزه داری | فاصله داری | tedam    | جادیش  | زبری   | پرکننده        | هوازدگی       | تراوش  |
|-------------------|------------|----------|--------|--------|----------------|---------------|--------|
| سرچشمه            | ۰/۶ - ۲m   | ۱۰ - ۲۰m | ۲/۵mm  | زبر    | رس و پیریت     | تقرباً هوازده | مرطوب  |
|                   |            |          |        |        |                |               | مرطوب  |
| سونگون            | ۰/۶ - ۲m   | ۱۰ - ۲۰m | ۶mm    | زبر    | رس و اکسید آهن | تقرباً هوازده | مرطوب  |
| سرچشمه            | ٪۵۸/۵۵     | ٪۳۹/۵۲   | ٪۱۹/۵۵ | ٪۳۹/۲۸ | ٪۲۲/۲۲         | ٪۴۰/۷۴        | ٪۴۶/۷۵ |
| درصد فراوانی      | ٪۶۰/۴۶     | ٪۳۹/۱    | ٪۸۸/۲۲ | ٪۲۲/۶۸ | ٪۵۸/۶۳         | ٪۴۲/۲۲        | ٪۵۱/۹۲ |

پلهای مختلف از این معدن با هدف استفاده در تخمین قابلیت ضریب نفوذپذیری توده سنگ معدن نسبت به آب زیرزمینی به کمک مدل سازی عددی [۳] ، با توجه به مشکلات ریزشی دیواره و جریان آب زیرزمینی بر روی پلهای معدن به خصوص در بخش جنوبی آن انجام شد، دو گروه درزه اصلی با امتدادهای (Set1: Dip/Dip dir. :  $63^{\circ}/165^{\circ}$ ) شمال شرقی - جنوب غربی (Set2: Dip/Dip dir. :  $70^{\circ}/227^{\circ}$ ) شمال غربی - جنوب شرقی با بازشدنی  $6mm$  و مواد پرکننده رس و اکسید آهن بین مشاهده می شود.

همچنین در هر دو معدن به صورت مشترک و مشابه، سطوح درزه ها زبرو تقریباً هوازده، مرطوب ، با طول (تمدد)  $10-20m$  و فاصله داری متوسط  $1m$  ، تشخیص داده می شوند. به این ترتیب، با مقایسه و تحلیل نتایج حاصل از درزه نگاری در این دو معدن مس پورفیری، مشاهده می شود که با وجود فاصله جغرافیایی نسبتاً زیاد و به خصوص شرایط ظاهری بسیار متفاوت دیواره های این دو معدن ، پارامترهای ژئومکانیکی درزه های توده سنگ آنها بسیار مشابه بوده و حتی در بیشتر موارد، در صد فراوانی آنها در مطالعه آماری انجام شده، به هم نزدیک است، که این نتایج بسیار قابل توجه و مفید است . نتایج مربوط به این مطالعات در کارهای مختلف معدنی از جمله بهینه سازی عملیات حفاری و آتشباری در معدن با توجه به روند عمومی درزه ها و پارامترهای کیفی و مقاماتی توده سنگ منطقه، محاسبات مربوط به پایداری شبیه دیواره های معدن، مطالعات مربوط به ریزشها (شکست) در دیواره سنگی و اندازه گیری ضریب نفوذپذیری توده سنگ با استفاده از پارامترهای هندسی آن و در نهایت طراحی و محاسبات آبکشی معدن، کاربرد دارند.

در محاسبات مربوط به ضریب نفوذپذیری توده سنگ با استفاده از پارامترهای هندسی سیستم درزه های آن و تعیین

## ۵- بحث و نتیجه گیری

درزه ها به عنوان یکی از عوارض اصلی توده سنگ، خواص مکانیکی، هیدرولیکی و حتی دینامیکی سنگ را بسته به فراوانی و گسترش آنها و خصوصیات دیگر، تحت تأثیر قرار می دهند و به مطالعه، برداشت و پردازش آماری و در نتیجه تجزیه و تحلیل نتایج در محدوده موردنظر نیاز دارند.

جدول های برداشت درزه داری بر اساس نوع پروژه و مطالعات مورد نظر و بنابراین، پارامترهای ژئومکانیکی مورد نیاز در پروژه های مختلف مکانیک سنگی، آب زمین شناسی و دینامیک سنگی تنظیم می شوند.

براساس برداشت های ژئومکانیکی انجام شده در محدوده دیواره غربی معدن مس سرچشمه و پردازش آماری صورت گرفته بر روی داده های حاصل، که به کمک حدود ۲۰۰ ایستگاه بر روی دو پله مختلف و در دو جهت عکس یکدیگر از این دیواره (به ترتیب  $P_{100}-P_1$  بر روی دیواره پله  $2525m$  و  $A_{1-A92}$  بر روی دیواره پله  $2512/5m$ ) با هدف طبقه بندی مهندسی توده سنگ منطقه و مطالعه خواص هیدرولیکی درزه ها نسبت به آب زیرزمینی، با توجه به مشکلات ریزشی دیواره و جریان آب درزه اصلی با امتدادهای شمال غربی - جنوب شرقی (Set1: Dip/Dip dir. :  $46^{\circ}/082^{\circ}$  و شمال شرقی - جنوب غربی (Set2: Dip/Dip dir. :  $80^{\circ}/051^{\circ}$ ) با بازشدنی  $2/5mm$  و مواد پرکننده رس و پیریت بین سطوح درزه ها، در این معدن وجود دارد.

در مقایسه با این نتایج، براساس برداشت های ژئومکانیکی انجام شده در دیواره ها و پلهای مختلف معدن مس سونگون و پردازش آماری صورت گرفته بر روی داده های حاصل، که به کمک ۵۲ ایستگاه ( $P_1-P_{52}$ ) با فواصل  $20-30m$  در دیواره

Priest, S. D. ; Discontinuity Analysis for Rock Engineering , Chapman & Hall publications, first edition, pp.23-26 , 1993 .

Robert, V., Proctor, M.E., Thomas, L. and White P.E.; Rock Tunneling with Steel Supports, Chapter 2, pp.25-38 , 1997 .

Wei, Z.Q., Egger P. and Descoedres, F. ; Permeability Predictions for Jointed Rock Masses, Int. J. Rock Mech. Min. Sci. & Geomech. Abstr. Vol. 32, No.3, pp. 251-261 , 1995 .

[١٢] جهت نفوذپذیری و حرکت آب زیرزمینی در توده سنگ منطقه مورد نظر، باید تفکیک برداشت‌ها و مطالعات آماری مربوط به درزهای نفوذپذیر و نفوذناپذیر انجام شود. درزهای نفوذپذیر و نفوذناپذیر، به کمک مواد پرکننده از یکدیگر تشخیص داده می‌شوند به طوری که مواد پرکننده در مورد درزهای نفوذپذیر شامل مواد کاملاً هوازده و نفوذپذیر بوده و درزهای نفوذناپذیر مواد پرکننده مقاوم و نفوذناپذیر مثل پیریت و کوارتز مقاوم دارند.

## ۷- زیرنویس‌ها

- <sup>١</sup>Exposure
- <sup>٢</sup>Empirical
- <sup>٣</sup>Rock Cutting
- <sup>٤</sup>Folding
- <sup>٥</sup>Foliation
- <sup>٦</sup>Joint
- <sup>٧</sup>Sungun Porphyry
- <sup>٨</sup>Scan line
- <sup>٩</sup>Rectangular or Window
- <sup>١٠</sup>Trace Length
- <sup>١١</sup>Rock Face
- <sup>١٢</sup>Least Squares Technique
- <sup>١٣</sup>Crack Tensor
- <sup>١٤</sup>Hydrogeology
- <sup>١٥</sup>RMR
- <sup>١٦</sup>Spacing
- <sup>١٧</sup>Aperture
- <sup>١٨</sup>Persistence / Length
- <sup>١٩</sup>Weathering
- <sup>٢٠</sup>Groundwater Condition / Seepage
- <sup>٢١</sup>Macro Roughness
- <sup>٢٢</sup>Rough

## ۶- مراجع

- [١] بخش زمین‌شناسی معدن مس سرچشمۀ؛ "گزارشات زمین‌شناسی معدن مس سرچشمۀ" مجتمع مس سرچشمۀ، امور معدن، ۱۳۶۰ .
- [٢] پارسایی، م.؛ "درزه‌نگاری و مطالعه خواص هیدرولیکی درزهای در دیواره و حد توسعه ناحیه غربی معدن مس سرچشمۀ"، پایان نامه کارشناسی ارشد معدن، دانشگاه شهید باهنر کرمان، ۱۳۷۷ .
- [٣] پارسایی، م.؛ "تخمین ضربی هدایت هیدرولیکی توده سنگ با مدلسازی عددی - مطالعه موردي در معدن مس سونگون، ایران"، رساله دکتری، دانشگاه آزاد اسلامی ایران، واحد علوم و تحقیقات تهران، ۱۳۸۶ .
- [٤] شهاب‌پور، ج.؛ "پیدایش کانسار سرچشمۀ" دویین سمپوزیوم معدنکاری ایران، دانشگاه شهید باهنر کرمان، ۱۳۷۶ .
- [٥] گروه مهندسی کارگاه، واحد زمین‌شناسی و اکتشاف؛ "گزارش مقدماتی هیدرولوژی و هیدروشیمی"، گزارش شماره ۴۲ ، معدن مس سونگون، ص. ۱-۲ . ۱۳۸۱ .
- [٦] مهندسین مشاور کاوشگران؛ "گزارش جامع زمین‌شناسی مهندسی" ، معدن مس سونگون، ۱۳۸۲ .
- [٧] Giani, G.P.; Rock Slope Stability Analysis, University of Turin, A.A. Balkema, Rotterdam, Brookfield, 1992 .
- [٨] Hoek, E. and Bray, J. ; Rock Slope Engineering, The Institution of Mining and Metallurgy, London , 1981 .
- [٩] Karzulovic, A. and Goodman, R.E. ; Determination of Principal Joint Frequencies, Int. J. Rock Mech. Min. Sci. & Geomech. Abstr. , Technical Note, Vol.22, No.6, pp.471-473 , 1985 .
- [١٠] Mandl , G. ; Rock Joints , The Mechanical Genesis , Springer , pp.1-4 , 2005 .
- [١١] Oda , M. , Yambe , T. and Kamemura , K. ; A Crack Tensor and Its Relation to Wave Velocity Anisotropy in Jointed Rock Masses, Int. J. Rock Mech. Min. Sci. & Geomech. Abstr., Vol.23, No.6, pp.387-397 , 1986 .